

В.И. Букатый, Ю.В. Гончаров, А.А. Тельнихин

ОПТИЧЕСКИЙ РАЗРЯД В АЭРОДИСПЕРСНОЙ СРЕДЕ, ОБРАЗОВАННЫЙ ИЗЛУЧЕНИЕМ МИЛЛИСЕКУНДНОГО Nd-ЛАЗЕРА

Приведены данные экспериментов по образованию плазмы оптического разряда в поле излучения неодимового лазера (длина волны 1,06 мкм, длительность импульса 10^{-3} с, плотность потока энергии $I \geq 5 \cdot 10^5$ Вт/см²).

Обнаружена нижняя энергетическая граница возникновения разряда в аэрозоле; методом спектрального отношения найдена температура плазмы ($T \approx 1$ эВ), по штарковскому уширению спектральных линий определена плотность электронов ($n_e \approx 1,0 \cdot 10^{17}$ см⁻³).

Проведен анализ процессов в плазме. Показано, что состав плазмы разряда зависит от плотности частиц аэрозоля.

В последнее время проводятся интенсивные исследования по пробою аэродисперсных сред излучением миллисекундного Nd-лазера [1–6]. Выяснено, что разряд в таких средах является самым низкопороговым (по величине энерговклада от внешнего поля накачки) из всех известных видов оптических разрядов. Пороговый энерговклад от лазерного поля, инициирующего разряд, составляет величину порядка 10³ Вт/см³ и практически не зависит от сорта аэрозольной компоненты.

Несмотря на проведенные многочисленные исследования, в настоящее время существуют известные трудности в теоретической интерпретации свойств плазмы разряда. В первую очередь эти трудности связаны с недостаточностью данных о составе многокомпонентной плазмы, а следовательно, и о характере процессов, протекающих в плазме разряда.

В связи с этим нами проведена серия экспериментов по определению свойств плазмы разряда.

Результаты экспериментов

Для исследований в качестве источника воздействующего излучения использовался серийный лазер на неодимовом стекле ГОС–1001 с длиной волны $\lambda = 1,06$ мкм. Длительность импульса излучения составляла $(1 \div 1,8) \cdot 10^{-3}$ с, энергия импульса $E \approx 70 \div 190$ Дж. Свет от лазера фокусировался в камеру, где распылялись частицы твердого аэрозоля. В экспериментах использовались частицы двух сортов: графита и корунда Al_2O_3 . Концентрация частиц поддерживалась на одном уровне и составляла $\sim 10^4$ см⁻³.

Наблюдение за образующейся плазмой велось через боковое окно камеры под углом 90° к воздействующему излучению. Собственное излучение плазмы разряда направлялось в спектрограф ИСП–51. Для градуировки и определения длин волн линий излучения плазмы использовался спектр излучения железа в дуговом разряде. Спектры излучения плазмы разряда и дуговой лампы фотографировались на аэрофотопленку. В связи с тем, что интенсивность излучения плазмы разряда была недостаточна для получения качественных спектрограмм, съемка производилась за несколько (3÷5) выстрелов. Полученные спектрограммы обрабатывались на микрофотометре ИФО–451 и затем производилась идентификация линий в спектре оптического разряда по спектру излучения железа.

На рис. 1 представлена характерная деснитограмма собственного излучения плазмы, образующейся в углеродном аэрозоле. В спектре присутствуют линии излучения возбужденных атомов азота NII, кислорода OI, линии ионов азота и кислорода – NII и OII, а также линии ионов углерода CII.

Характерная фотография спектрограммы (для корунда) приведена на рис. 2. Спектр излучения состоит из линий атомов и ионов воздуха и аэрозольной компоненты. При энерговкладе в разряд $E = 190$ Дж наиболее яркие линии AIII – 422,68 нм, 586,15 нм; AII – 669,60 нм; NII – 510,44 нм; OII – 485,68 нм; OI – 465,54 нм.

Концентрация электронов в плазме рассчитывалась по штарковскому уширению линий излучения по формуле (погрешность метода $\sim 20\%$) [7]:

$$\Delta\lambda_{1/2} = 2W \left(\frac{n_e}{10^{16}} \right) + 3,5A \left(\frac{n_e}{10^{16}} \right)^{1/4} \left[1 - \frac{3}{4} N_d^{-1/3} \right] W \left(\frac{n_e}{10^{16}} \right), \quad (1)$$

где n_e – концентрация электронов, см⁻³; N_d – число частиц в сфере Дебая; W, A – некоторые константы, не зависящие от концентрации электронов.

Расчет концентрации электронов в плазме проводился по полуширине линий азота NII ($\lambda = 415,15$ нм) и кислорода OI ($\lambda = 394,73$ нм). Полуширина линий – 0,6 \div 0,9 нм, инструментальный контур – 0,3 нм. Рассчитанное значение концентрации электронов $n_e \approx 1,0 \cdot 10^{17}$ см⁻³.

Теорема плазмы определялась по отношению полных интенсивностей линий. Считалось, что образующаяся плазма находится в состоянии локального термодинамического равновесия (ЛТР).

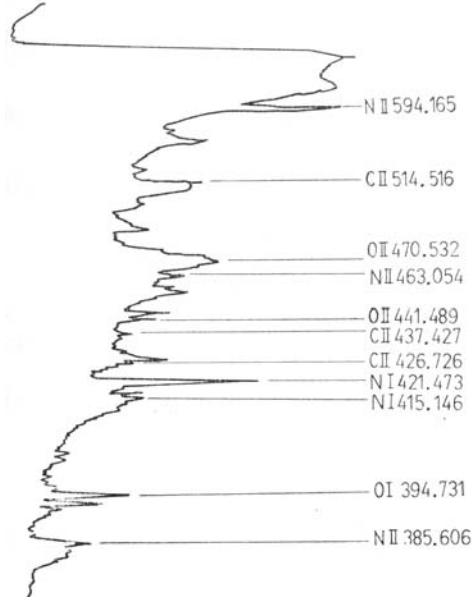


Рис. 1

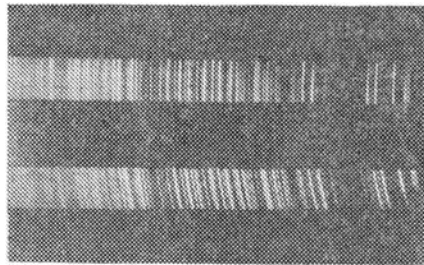


Рис. 2

В связи с тем, что точность в определении температуры электронов из отношения интенсивностей линий, излучаемых ионами или атомами одного сорта, невелика и погрешность в измерении отношения интенсивностей линий входит в определение температуры в усиленном виде, расчет температуры производился по измерениям относительной интенсивности двух линий, принадлежащих одному и тому же элементу, но двум соседним степеням ионизации [7]:

$$\frac{\varepsilon_1}{\varepsilon_2} = \frac{f_{mn}(1) g_n(1) \lambda^3(2)}{f_{mn}(2) g_n(2) \lambda^3(1)} \left(\frac{T_e}{J_H} \right)^{3/2} \frac{1}{4\pi^{3/2} a_0^3 n_e} \exp\left(-\frac{\Delta E}{T_e}\right), \quad (2)$$

где число 1 относится к более высокой степени ионизации; f_{mn} — сила осциллятора для перехода m, n , g_n — статистический вес уровня; λ — длина волны излучения при переходе m, n , a_0 — радиус Бора; T_e — электронная температура; J_H — энергия ионизации водорода. Величина ΔE есть разница энергий возбуждения $E(1)$ и $E(2)$, увеличенная на энергию ионизации атома с более низкой степенью ионизации:

$$\Delta E = E(1) - E(2) + [J - \Delta J],$$

где $\Delta J = Ze^2/4\pi r_d^d$ — поправка к энергии ионизации, обусловленная коллективным взаимодействием в плазме ($Z = 1$ для атома, $Z = 2$ для однократно ионизованного атома и т.д.); r_d — радиус Дебая.

Измерение температуры плазмы проводилось обычным методом [8] по относительным интенсивностям линий азота: N II ($\lambda = 594,17$ нм), N I ($\lambda = 415,15$ нм); N II ($\lambda = 463,05$ нм), N I ($\lambda = 415,15$ нм), и линий кислорода: O II ($\lambda = 441,49$ нм), O I ($\lambda = 394,73$ нм).

Электронная температура, определяемая по соотношению (2), оказалась следующей: 0,98 эВ для первой и 0,96 эВ для второй пары линий азота; 0,86 эВ — для линий кислорода.

Обсуждение результатов

Для выполнения условия ЛТР требуется, чтобы столкновения электрон — атом и электрон — ион были достаточно частыми и чтобы они, а не процессы излучения, определяли скоростные уравнения плазмы. Необходимым для этого является условие [7]:

$$n_e \gtrsim 1,4 \cdot 10^{14} T^{1/2} \cdot E_{mn}^{3/4}, \quad (3)$$

где E_{mn} — энергия возбуждения; n_e в см^{-3} .

Сравнение наблюдаемых и теоретически рассчитанных форм линий возможно лишь при выполнении условия [7]

$$\mu(\omega) L \ll 1, \\ \mu = 7,01 \cdot 10^{-11} \frac{n_e^2}{T^{3/2} \omega^2} \left(1 - e^{-\frac{\hbar\omega/\kappa_B T}{}} \right) G, \quad (4)$$

где μ — коэффициент поглощения на частоте ω ; L — характерный размер плазмы; n_e измеряется в м^{-3} ; T — в Кельвинах; μ в м^{-1} ; G — фактор Гаунта.

При наших параметрах плазмы ($n_e \approx 10^{17} \text{ см}^{-3}$, $T \approx 1 \text{ эВ}$, $L \approx 1 \text{ см}$) условия (3, 4) хорошо выполняются в видимой области спектра.

В условиях ЛТР распределение свободных частиц в плазме должно удовлетворять соотношению Саха:

$$\frac{n_\rho}{n} = 2 \frac{g_i}{g} \left(\frac{m T}{2\pi \hbar^2} \right)^{3/2} \exp \left(-\frac{J}{T} \right), \quad (5)$$

где g — статистический вес.

Применяя (5) к различным компонентам плазмы, находим

$$\frac{n_i}{n} + \frac{N_i}{N} \gamma, \quad \gamma = \exp \left(-\frac{J_1 - J_2}{T} \right), \quad (6)$$

J_1 , n_i , n — плотность ионов и атомов воздуха.

Так как в разряде ионная плазменная частота значительно превышает частоту флюктуации плотности частиц в плазме [6], плазму разряда можно считать квазинейтральной, т. е.

$$n_e = n_i + N_i. \quad (7)$$

Комбинируя выражения (6, 7), можно показать, что при выполнении условия $\gamma \gg N/n$ число заряженных частиц в плазме определяется в основном ионами воздуха ($n_e \approx n_i$). При $T=1 \text{ эВ}$ из формулы (5) находим $n_e \approx 5 \cdot 10^{16} \text{ см}^{-3}$. При этом в спектре разряда, поскольку интенсивность линий пропорциональна числу частиц в данном состоянии, наиболее яркими будут линии атомов и ионов воздуха.

В случае, когда $\gamma \ll N/n$, из выражений (6, 7) находим $n_e \approx N_i$. Из условия (5) можно получить, что концентрации электронов и ионов равны и имеют значение 10^{17} см^{-3} , концентрация атомов аэрозоля в основном состоянии равна 10^{15} см^{-3} при $T = 1 \text{ эВ}$. Потенциал ионизации атомов аэрозольной компоненты $J_2 = 6 \text{ эВ}$. Для создания электронной концентрации такой величины начальная плотность атомов должна быть порядка 10^{17} см^{-3} .

Проведенные в работе [6] зондовые измерения показали, что концентрация электронов в плазме флюкутирует со средней частотой $\omega \sim 10^4 \text{ с}^{-1}$. При этом в плазме кроме межчастичных кулоновских полей существуют поля коллективных волноподобных флюктуаций. Оценка среднеквадратичного значения напряженности флюктуирующего электрического поля, проведенная в работе [7], показывает, что при типичных значениях лазерного разряда ($n_e \sim (10^{16} \div 10^{17}) \text{ см}^{-3}$, $T_e = 1 \text{ эВ}$) среднее значение флюктуирующего поля мало по сравнению со средним межчастичным полем. При этом ширина штарковских уширений спектральной линии, излучаемой плазмой, будет определяться кулоновскими полями.

1. Lencioni D. E., Pettingill L. C. — Appl. Phys., 1977, v. 48, № 5, p. 1848.
2. Труды Института экспериментальной метеорологии: Оптика атмосферы./Под ред. А.П. Будника, А.М. Скрипкина. — М.: Гидрометеоиздат, 1983, т. 31, № 105, с. 3—73.
3. Захарченко С. В., Семенов Л. П., Скрипкин А. М. — Квантовая электроника, 1984, т. 11, № 12, с. 2487—2492.

4. Королев И. Я., Кособурд Т. Н. и др. — ЖТФ, 1983, т. 53, № 8, с. 1547—1553.
5. Вдовий В. А., Сорокин Ю. М. — ЖТФ, 1985, т. 55, № 2, с. 319—325.
6. Букатый В. И., Коблов А. А., Тельникhin А. А. — ЖТФ, 1985, т. 55, № 2, с. 312—318.
7. Плазма в лазерах/Под ред. Дж. Бекефи. — М.: Энергоиздат. 1982.
8. Оптика и атомная физика/Под ред. Р.И. Солоухина. — Новосибирск: Наука, 1976. — 454 с.

Алтайский госуниверситет,
Барнаул

Поступила в редакцию
10 марта 1988 г.

V. I. Bukaty, Yu. V. Goncharov, A. A. Telnikhin. **Millisecond Neodymium Laser-Triggered Optical Discharge in Aerodispersion Medium.**

Experimental data on the formation of the optical discharge plasma by a neodium laser at 1,06 μm with a pulse duration of 10^{-3} s and an energy flux density of $\gtrsim 5 \cdot 10^5 \text{ W/cm}^2$ are presented. The lower energy bound required for the optical discharge in aerosol to be initiated was found. A plasma temperature of 1 eV was obtained by the spectral ratio technique. An electron density of $1,0 \cdot 10^{17} \text{ cm}^{-3}$ was determined from Stark-broadened spectral line data. The processes involved in the discharge plasma were examined to show the dependence of its composition on the aerosol number density.